

ЧИСЛЕННОЕ МОДЕЛИРОВАНИЕ НЕВЯЗКИХ ТЕЧЕНИЙ
С ГОРЕНИЕМ ВОДОРОДА ЗА СКАЧКАМИ УПЛОТНЕНИЯ
И В ДЕТОНАЦИОННЫХ ВОЛНАХ

B. B. Власенко, B. A. Сабельников

Центральный аэродинамический институт им. Н. Е. Жуковского,
140160 г. Жуковский-3

Описан новый численный алгоритм для моделирования течений невязкого многокомпонентного газа с неравновесными химическими реакциями. Демонстрируется применение этого алгоритма для расчета нескольких задач с горением водородовоздушной смеси в наклонных детонационных волнах.

Численное исследование гиперзвуковых течений реального многокомпонентного газа с конечными скоростями химических реакций представляет как теоретический, так и практический интерес. В последние годы широко ведутся исследования, связанные с созданием воздушно-космического самолета (ВКС). Центральная проблема здесь — разработка гиперзвукового прямоточного воздушно-реактивного двигателя (ГПВРД) на водородном топливе. Неравновесные химические процессы присутствуют во всех элементах этого двигателя: в воздухозаборнике (диссоциация воздуха за интенсивными ударными волнами), в сопле (рекомбинация продуктов сгорания) и, конечно, в камере сгорания, в которой происходят сверхзвуковое смешение и горение водородовоздушной смеси.

Расчет неравновесных гиперзвуковых течений сталкивается с рядом сложнейших проблем. Прежде всего резко увеличивается размерность задачи, так как необходимо отслеживать концентрации всех компонентов реагирующей смеси. Далее, система уравнений химической кинетики принадлежит к типу жестких, т. е. в физическом явлении присутствуют несколько характерных времен, отличающихся в сотни раз. Использование явных численных алгоритмов для моделирования таких процессов едва ли возможно, так как для этого требуется шаг по времени, равный минимальному характерному времени. Применение же неявных алгоритмов связано с проблемами обращения систем нелинейных уравнений большой размерности и достоверности численного решения.

В связи со сложностью задачи целесообразно начать с разработки эффективных численных методов для расчета реагирующих течений невязкого газа. При решении этой проблемы можно использовать надежный фундамент — хорошо разработанное численное моделирование течений невязкого совершенного газа.

Основные задачи, возникающие в рамках модели невязкого реагирующего газа, связаны с рассмотрением ударно-волновых структур в присутствии тепловыделения и, прежде всего, детонационных волн (ДВ). Горение за скачками уплотнения и в ДВ можно использовать в камерах сгорания ГПВРД, а при числах Маха $M_\infty > 15$ полета ВКС, как отмечается в [1, 2], более перспективен двигатель с наклонной волной детонации. Поэтому имеется научный и практический интерес в численном моделировании невязких реагирующих течений. Назовем некоторые проблемы, которые требуют решения: взаимодействие ДВ в водородовоздушной смеси со стенками камеры сгорания, стабилизация пламени за скачком уплотнения, т. е. локализация процесса горения и его удержание на разных режимах (на-

пример, в условиях неоднородного состава горючей смеси, при изменении угла клина и т. д.).

Разработка эффективного численного метода для расчета реагирующих течений невязкого газа и численному решению перечисленных задач посвящена настоящая работа.

Уравнения задачи

Уравнения движения невязкого реагирующего газа, записанные в консервативной форме для двумерных задач, имеют вид [3]

$$\frac{\partial \vec{u}}{\partial t} + \frac{\partial \vec{F}}{\partial x} + \frac{\partial \vec{G}}{\partial y} = \vec{W},$$

$$\vec{u} = \begin{bmatrix} p \\ \rho u \\ \rho v \\ \rho E \\ \rho Y_i \end{bmatrix}, \quad \vec{F} = \begin{bmatrix} \rho u \\ \rho u^2 + p \\ \rho uv \\ \rho uv \\ \rho uE + pu \\ \rho uY_i \end{bmatrix}, \quad \vec{G} = \begin{bmatrix} \rho v \\ \rho uv \\ \rho v^2 + p \\ \rho v \\ \rho uE + pv \\ \rho vY_i \end{bmatrix}, \quad \vec{W} = \begin{bmatrix} 0 \\ 0 \\ 0 \\ 0 \\ 0 \\ W_i \end{bmatrix}. \quad (1)$$

Здесь ρ — плотность; u, v — компоненты скорости; p — давление; E — полная энергия единицы массы; $Y_i = \rho_i / \rho$ — массовая доля i -го компонента газовой смеси; W_i — источниковый член, описывающий производство и расходование i -го компонента в ходе химических реакций. Предполагается, что смесь состоит из N_{sp} компонентов. При этом концентрацию одного из компонентов можно выразить через остальные:

$$Y_{N_{sp}} = 1 - \sum_{i=1}^{N_{comp}} Y_i,$$

где $N_{comp} = N_{sp} - 1$. Это позволяет исключить из системы (1) уравнение, описывающее изменение $Y_{N_{sp}}$, и уменьшить размерность задачи на единицу. Таким образом, в системе (1) индекс i меняется от 1 до N_{comp} , и ее размерность $N_{dim} = 4 + N_{comp}$.

Система уравнений (1) записана в безразмерных переменных. Используется обезразмеривание достаточно общего вида

$$\begin{aligned} x &= x^*/L_0, & y &= y^*/L_0, & u &= u^*/V_0, & v &= v^*/V_0, \\ t &= V_0 t^*/L_0, & \rho &= \rho^*/\rho_0, & T &= T^*/T_0, & p &= p^*/\rho_0 V_0^2, \\ (c_p)_i &= \frac{(c_p)_i^*}{(c_p)_0}, & h_i &= \frac{h_i^*}{(c_p)_0 T_0}, & E &= \frac{E^*}{V_0^2}, & m_i &= \frac{m_i^*}{m_0}. \end{aligned}$$

Здесь h_i — энтальпия i -го компонента; $(c_p)_i$ — удельная теплоемкость; m_i — молекулярная масса i -го компонента; $L_0, V_0, \rho_0, T_0, (c_p)_0, m_0$ — характерные параметры обезразмеривания; звездочкой помечены размерные величины.

Систему уравнений (1) замыкают следующие соотношения:
1) выражение для молекулярной массы смеси

$$m = \frac{1}{\sum_{i=1}^{N_{sp}} \frac{Y_i}{m_i}};$$

2) уравнение состояния

$$p = \text{PINF} \frac{\rho T}{m} = \text{PINF} \rho T \sum_{i=1}^{N_{sp}} \frac{Y_i}{m_i}; \quad (2)$$

3) выражение для полной энергии

$$E = \text{HINF} \sum_{i=1}^{N_{sp}} Y_i h_i(T) + \frac{u^2 + v^2}{2} - \frac{p}{\rho}, \quad (3)$$

где использованы безразмерные комплексы

$$\text{PINF} = \frac{R_0 T_0}{m_0 V_0^2}, \quad \text{HINF} = \frac{(c_p)_0 T_0}{V_0^2},$$

$R_0 = 8,314 \text{ Дж/(моль} \cdot \text{К)}$ — универсальная газовая постоянная;

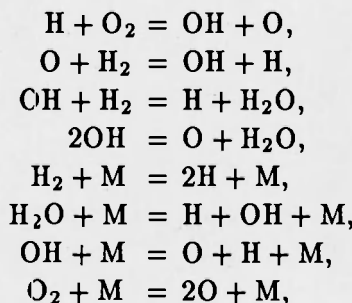
4) выражения для энталпий компонентов $h_i(T)$, как правило, аппроксимируются полиномами от температуры;

5) выражение для химического источника i -го компонента, которое можно записать в виде

$$W_i = m_i \sum_{j=1}^{N_{react}} n_{ji} \cdot [Da^f \omega_j^f - Da^b \omega_j^b], \quad (4)$$

где N_{react} — количество реакций; n_{ji} — стехиометрический коэффициент при i -м веществе в j -й реакции ($n_{ji} > 0$, если в прямой реакции i -е вещество производится, $n_{ji} < 0$, если оно расходуется); ω_j^f — скорость j -й прямой реакции; ω_j^b — скорость j -й обратной реакции. Выражения для ω_j^f и ω_j^b можно найти, например, в [3]. Наконец, при работе в безразмерных переменных в (4) скорости реакции умножаются на числа Дамкелера прямой и обратной реакции Da^f и Da^b . Для бимолекулярных реакций вводится $Da_b = \rho_0 L_0 / m_0 V_0$, для тримолекулярных реакций $Da_t = \rho_0^2 L_0 / m_0^2 V_0 = \rho_0 / m_0 \cdot Da_b$. Эти числа размерные: $[Da] = 1/[k]$ ($[k]$ — размерность «константы» скорости химической реакции, входящей в выражение для ω_j).

Рассматриваются неравновесные течения водородовоздушной смеси. Используется модель горения водорода, состоящая из элементарных стадий ($N_{react} = 8$ [4]):



в которых участвуют семь компонентов: радикалы H , O , OH и молекулы H_2O , O_2 , H_2 , N_2 . Азот играет роль инертной примеси и может быть третьей частицей M в тримолекулярных реакциях. Таким образом, $N_{sp} = 7$, $N_{comp} = 6$ и $N_{dim} = 10$.

Выражения для энталпий компонентов и констант скоростей химических реакций, используемые в данной модели, можно найти в работе [4]. Следует отметить, что система уравнений (1) *t*-гиперболична, и постановка математически корректных краевых условий принципиально не отличается от случая совершенного невязкого газа.

Описание численного алгоритма

Сущность предлагаемого численного алгоритма состоит в следующем. Уравнения движения газа записываются в преобразованной системе координат $(i; j)$, в которой расчетная область имеет форму прямоугольника, а ячейки расчетной сетки квадратные, размером 1×1 (область индексов). Численная схема строится интегральным методом: уравнения движения интегрируются по объему, «заметаемому» ячейкой расчетной сетки за один временной шаг, после чего объемные интегралы преобразуются в поверхностные по формуле Гаусса — Остроградского и аппроксимируются. В итоге схему можно представить в виде

$$\tilde{u}_{ij}^{n+1} = \tilde{u}_{ij}^n + \tau \left[\vec{Q}_{\text{конв}} + \vec{Q}_{\text{хим}} \right], \quad (5)$$

где $\tilde{u} = \bar{u} / J$; $J = i_x j_y - i_y j_x$ — якобиан преобразования координат; τ — шаг по времени; $\vec{Q}_{\text{конв}}$ и $\vec{Q}_{\text{хим}}$ — вклады в \tilde{u}_{ij}^{n+1} от конвекции и химического источника.

При аппроксимации уравнений движения применяется локально-неявный подход, при котором $\vec{Q}_{\text{конв}}$ аппроксимируется по параметрам с явного слоя t_n , и только для вклада от источника $\vec{Q}_{\text{хим}}$ используется полунеявная аппроксимация:

$$\vec{Q}_{\text{хим}} = \frac{1}{2} \left[\left(\frac{\vec{W}}{J} \right)_{ij}^n + \left(\frac{\vec{W}}{J} \right)_{ij}^{n+1} \right]. \quad (6)$$

Благодаря такому представлению $\vec{Q}_{\text{конв}}$ и $\vec{Q}_{\text{хим}}$ в каждой ячейке сетки возникает система неявных нелинейных уравнений, не связанная с соседними ячейками, что позволяет резко сократить затраты машинного времени по сравнению с полностью неявной аппроксимацией уравнений движения. Конечно, явная аппроксимация конвективных членов диктует ограничение на шаг по времени (число Куранта $Cu \leq 1$), однако нельзя забывать, что применение больших чисел Куранта, допустимое с точки зрения устойчивости в полностью неявных схемах, неизбежно создает проблемы с надежностью и достоверностью счета.

Расчеты в каждой ячейке ведутся в следующем порядке:

- 1) по параметрам с явного слоя рассчитывается вектор $\vec{Q}_{\text{конв}}$;
- 2) из первых четырех уравнений системы (5) имеем

$$\frac{(u_k)^{n+1}}{J^{n+1}} = \frac{(u_k)^n}{J^n} + \tau Q_k^{\text{конв}}$$

$(u_k = \rho, \rho u, \rho v, \rho E$ для $k = 1, 2, 3$ и 4 соответственно), отсюда по явной методике находятся $\rho^{n+1}, u^{n+1}, v^{n+1}, E^{n+1}$. Найти p^{n+1}, T^{n+1} пока нельзя, так как в E^{n+1} входит \vec{Y}^{n+1} :

$$E^{n+1} = \text{HINF} \sum_{i=1}^{N_{sp}} Y_i^{n+1} h_i(T^{n+1}) + \\ + \frac{(u^{n+1})^2 + (v^{n+1})^2}{2} - \text{PINF} \cdot T^{n+1} \sum_{i=1}^{N_{sp}} \frac{Y_i^{n+1}}{m_i}; \quad (7)$$

3) вычисляется явная часть источника W^n ; 4) задается в качестве начального приближения $(\vec{Y}^{n+1})^0 = \vec{Y}^n$. Затем методом Ньютона обращается система из N_{comp} нелинейных уравнений для \vec{Y}^{n+1} :

$$\frac{(\rho Y_i)^{n+1}}{J^{n+1}} = \frac{(\rho Y_i)^n}{J^n} + \tau \left[(Q_{4+i}^{\text{конв}})^n + \frac{1}{2} \left(\frac{\vec{W}_i^n}{J^n} + \frac{W_i^{n+1}}{J^{n+1}} \right) \right], \\ \vec{W}^{n+1} = \vec{W}(\rho^{n+1}, T^{n+1}, \vec{Y}^{n+1}).$$

На каждой ньютоновской итерации значения T находятся из уравнения (7) по текущим (итерационным) величинам \vec{Y} и известным $E^{n+1}, u^{n+1}, v^{n+1}$.

Когда \vec{Y}^{n+1} найдены, из (7) определяются T^{n+1} , а из уравнения состояния — p^{n+1} . Таким образом, параметры на неявном слое определены.

Достоинством данной процедуры является тот факт, что процессы химической кинетики и конвекции сильно связаны (по принятой в ряде работ терминологии, это strongly coupled алгоритм), в отличие от многих других методов, где производят расщепление по физическим процессам и делают сначала «конвективный» шаг, а затем «химический» или наоборот (см., например, [5] о методике effective gamma). В данной же методике оба процесса работают одновременно: при расчете \vec{Y}^{n+1} используются «конвективные» $\rho^{n+1}, v^{n+1}, E^{n+1}, u^{n+1}$ и $(Q_i^{\text{конв}})^n$, а при расчете «конвективных» параметров p^{n+1} и T^{n+1} используется \vec{Y}^{n+1} . Естественно, это приближает процедуру к физической реальности и делает ее более надежной.

В системе разностных уравнений (5) вклад от конвекции имеет вид

$$\vec{Q}_{\text{конв}} = (\tilde{F}_{i-1/2} - \tilde{F}_{i+1/2}) + (\tilde{G}_{j-1/2} - \tilde{G}_{j+1/2}), \\ \tilde{F} = \vec{u} \frac{i_t}{J} + \vec{F} \frac{i_x}{J} + \vec{G} \frac{i_y}{J}, \quad \tilde{G} = \vec{u} \frac{j_t}{J} + \vec{F} \frac{j_x}{J} + \vec{G} \frac{j_y}{J}.$$

Конкретный тип разностной схемы определяется выбором способа аппроксимации величин $\tilde{F}_{i\pm 1/2}, \tilde{G}_{j\pm 1/2}$. В качестве такого способа предлагается явная схема 2-го порядка аппроксимации по пространству и времени — схема предиктор — корректор Родионова [6]. Данная схема монотонная и аналогична широко распространенным TYD-схемам. Она относится к классу так называемых схем Годунова, в которых для значений параметров на боковых граних объема, «заметаемого» ячейкой за временной шаг, используется решение задачи Римана о распаде произвольного разрыва между двумя течениями, прилегающими к данной боковой грани. Достоинства такого подхода — ясный физический смысл и правильное распределение информации, приходящей на боковую грань слева и справа от нее. Благодаря этим свойствам схемы Годунова, безусловно, лучшие среди разработанных к настоящему времени в смысле надежности и качества результата.

Для решения задачи Римана выбрано приближенное безытерационное решение, предложенное в [7]. Основная идея этой методики состоит в пе-

реходе от исходной нелинейной системы уравнений Эйлера (записанной в одномерной постановке, вдоль нормали к боковой грани)

$$\frac{\partial \vec{u}}{\partial t} + \frac{\partial \vec{F}}{\partial n} = 0$$

к локально линеаризованной системе

$$\frac{\partial \vec{u}}{\partial t} + A \frac{\partial \vec{u}}{\partial n} = 0,$$

где постоянная матрица A — аналог якобиана уравнений Эйлера $\partial \vec{F} / \partial \vec{u}$. Она вычисляется по параметрам течения слева и справа от боковой грани ($A = A(\vec{u}_l, \vec{u}_r)$) и должна отвечать определенным требованиям, обеспечивающим наилучшие свойства приближения, в частности, возможность правильного выделения скачков уплотнения и контактных разрывов. Одно из этих требований — Δ -свойство:

$$A(\vec{u}_r - \vec{u}_l) = \vec{F}(\vec{u}_r) - \vec{F}(\vec{u}_l). \quad (8)$$

Для совершенного газа матрица Рое совпадает с якобианом уравнений Эйлера, но вычисленным по осредненным величинам \bar{u}, \bar{H} (u — скорость, H — полная энталпия):

$$A = \frac{\partial \vec{F}}{\partial \vec{u}} (\bar{u}, \bar{H}).$$

Роевские осреднения определяются по следующим формулам:

$$\bar{u} = \frac{\sqrt{\rho_l} u_l + \sqrt{\rho_r} u_r}{\sqrt{\rho_l} + \sqrt{\rho_r}}, \quad \bar{H} = \frac{\sqrt{\rho_l} H_l + \sqrt{\rho_r} H_r}{\sqrt{\rho_l} + \sqrt{\rho_r}}. \quad (9)$$

Однако известно, что для многокомпонентного газа классические роевские осреднения неприменимы, т. е. не дают матрицы, удовлетворяющей требованиям Рое. Это связано с нелинейностью термодинамических функций. Возникает проблема уточнения роевских осреднений, которая представляет собой довольно сложную математическую задачу. Нетрудно доказать, что эта задача имеет много решений.

В ходе многих численных экспериментов установлено, что в основном поле течения многокомпонентного газа (на участках медленного изменения параметров) с высокой точностью можно пользоваться классическими роевскими осреднениями (9). И только в небольшом количестве ячеек, в которых выполняется условие

$$\frac{|\alpha_r - \alpha_l|}{\min \alpha_l \alpha_r} \geq 0,1 \%,$$

требуется уточнение роевских осреднений (α — показатель адиабаты). Такая ситуация возникает, например, в районе ударных волн, особенно фронтов детонации, а также фронтов пламени. Возможный вариант уточнения осреднений — прямое решение системы уравнений для роевских осреднений (8) методом Ньютона. Как уже сказано выше, необходимость в уточнении осреднений возникает сравнительно редко, поэтому данная трудоемкая операция не создает сколько-нибудь заметного увеличения затрат машинного времени. Другие способы решения задачи об уточнении роевских осреднений предлагаются, например, в [8, 9].

Второй порядок аппроксимации по пространству достигается тем, что распределение параметров внутри каждой расчетной области считается

линейным. Градиенты параметров определяются с использованием принципа минимальных значений производных, предложенного в [10] и исследованного и уточненного в [11]. При таком подходе значения параметров для задачи о распаде разрыва вычисляются по формулам

$$u_l = u_j + \frac{1}{2} \Delta u_j, \quad u_r = u_{j+1} - \frac{1}{2} \Delta u_{j+1},$$

$$\Delta u_j = \text{minmod}(\Delta_{j+1/2} u, \Delta_{j-1/2} u), \quad \Delta_{j+1/2} u = u_{j+1} - u_j,$$

$$\text{minmod}(a; b) = \text{sign}(a) \cdot \min(|a| \cdot |b|) \cdot \max(0, \text{sign}(a) \cdot \text{sign}(b)).$$

Для переменного шага сетки, а также для двумерных задач эти формулы усложняются. В данной работе используется методика [12].

Второй порядок аппроксимации по времени достигается следующим образом. Сначала выполняется шаг-предиктор по схеме Колгана и находятся предикторные значения параметров u^* . Затем осуществляется шаг-корректор, в котором

$$u_l = \frac{1}{2}(u_j^n + u_j^*) + \frac{1}{2} \Delta u_j,$$

$$u_r = \frac{1}{2}(u_{j+1}^* + u_{j+1}^*) - \frac{1}{2} \Delta u_{j+1},$$

причем $\Delta u_j, \Delta u_{j+1}$ вычисляются по параметрам с явного слоя [6].

Следует отметить, что именно для реагирующих течений газа схема Родионова дает значительное улучшение качества решения. Причина этого в том, что, хотя течения невязкого реагирующего газа описываются гиперболическими уравнениями, римановы инварианты вдоль характеристик не сохраняются, а изменяются. Единственная возможность учесть это, оставаясь в рамках явной схемы, — сделать шаг-корректор по схеме Родионова. При этом предполагается модификация схемы Родионова, в которой источниковый член на шаге-корректоре не пересчитывается, а берется с явного слоя. Это не ухудшает свойства схемы, так как шаг-корректор предназначен для уточнения конвективных членов, а источниковый член благодаря полуявной аппроксимации (6) уже на предикторе считается со вторым порядком точности. Поскольку расчет источника занимает более 70 % времени счета, это дает заметное повышение эффективности вычислений. Схема Родионова устойчива при $Cu \leq 1$.

Результаты расчетов

На основе изложенных идей создан комплекс программ SOLVER 2, предназначенный для расчета двумерных нестационарных течений невязкого многокомпонентного газа с неравновесными химическими реакциями. Возможно решение стационарных задач методом установления. В основном принципы организации комплекса аналогичны принципам разработанного в [13] комплекса SPRUT, который используется для расчета течений совершенного невязкого газа. Комплекс тщательно оттестирован. В частности, для проверки качества моделирования взаимодействия химической кинетики и конвекции использовалась достаточно жесткая тестовая задача об одномерном сверхзвуковом горении водородовоздушной смеси в канале постоянного сечения.

Длина области интегрирования в продольном направлении равна 10 см. На входе задан втекающий поток стехиометрической смеси (т. е. смеси с коэффициентом избытка топлива $\varphi = 8Y_{H_2}/Y_{O_2} = 1$) при

$p = 1,34 \cdot 10^5$ Па, $T = 1160$ К, $M = 3,5$. Уровень газодинамических параметров достаточен для самовоспламенения смеси, и в канале начинается горение, которое взаимодействует с конвекцией. Использована прямоугольная расчетная область размером $10 \times 0,1$ см, в ней построена квадратная сетка 100×1 ячеек (каждая ячейка со стороной 1 мм). В качестве начального приближения задавался равномерный поток с параметрами потока, втекающего в канал. За 500 итераций по времени по схеме Родионова получается установившееся решение. Процесс занимает 2 ч машинного времени на компьютере IBM 3033, и это вполне хороший результат для задач с химической кинетикой (рис. 1).

Решение задачи получено также с использованием одномерной программы высокого порядка точности для системы жестких уравнений химической кинетики (см., например, [14]). Результаты, полученные при помощи комплекса SOLVER 2, хорошо согласуются с этими высокоточными данными.

Затем проведен расчет более сложных задач с неравновесной химической кинетикой. Во всех этих задачах сходная конфигурация расчетной области: клин, на который настекает сверхзвуковой поток водородовоздушной смеси. На рис. 2 показан образец применявшейся расчетной сетки и указаны параметры, определяющие геометрию задачи. Их конкретные значения для каждой задачи, а также параметры потока на входе в расчетную область, количество сделанных итераций по времени и данные о сходимости приведены в таблице. В качестве начального поля всегда задавалось равномерное течение с такими же параметрами, что и во втекающем потоке. Для контроля сходимости при расчете стационарных течений методом установления использовался параметр

$$\Delta = \max_{l,j} \frac{|p_{ij}^{n+1} - p_{ij}^n|}{p_{ij}^n}.$$

1. Классическая задача о присоединенной косой детонационной волне на клине имеет аналитическое решение, если рассматривать ДВ как разрыв без учета структуры зоны горения, а также при условии, что известна величина тепловыделения в ДВ.

Размеры расчетной области выбрали так, что длина задержки воспламенения за скачком уплотнения составляла $1/3$ длины клина. На рис. 3 видно, что у поверхности клина происходит обычное сверхзвуковое горение за УВ без сильной связи между ударным фронтом и фронтом пламени. Давление вдоль линий тока возрастает, так же как и при выделении тепла в сверхзвуковом одномерном течении в канале с постоянной площадью

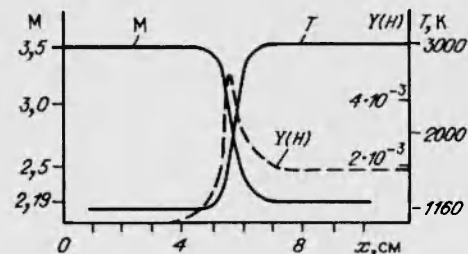


Рис. 1. Профили параметров при одномерном сверхзвуковом горении.

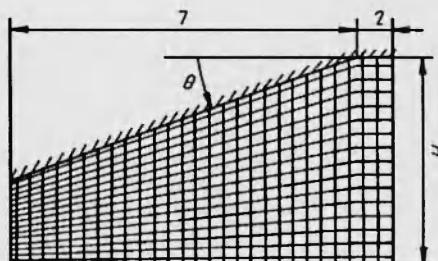


Рис. 2. Конфигурация расчетной области и расчетная сетка.

Параметр	Задача			
	1	2	3	4
Размер сетки (количество ячеек)	55 × 30	55 × 30	70 × 50	55 × 35
Угол клина θ , град	20	20	26,5	20 – 5
Длина начального участка l , м	0,0033	0,01	0,04	0,1
Длина основания клина L , м	0,033	0,1	0,24	1,0
Ширина входного сечения H , м	0,02	0,06	0,2,	0,7
Параметры на входе:				
давление $p \cdot 10^{-5}$, Па	0,167	0,167	0,32	0,167
температура T , К	850	850	450	850
число Маха M	5	~ 5	3,8	5
коэффициент избытка топлива φ	1,0	0,5–2	0,6	1,0
Количество итераций по схеме Родионова	455	265	1250	1500
Конечное значение параметра сходимости Δ	10^{-5}	10^{-2}	—	—

сечения. При удалении от поверхности клина волны сжатия, зарождающиеся вследствие тепловыделения во фронте пламени, догоняют скачок уплотнения и усиливают его, температура за ним повышается, длина индукции сокращается, и в конце концов зона горения сливается со скачком уплотнения, образуя единую газодинамическую структуру — волну детонации. В результате в районе начала клина образуется волновая структура (λ -структура) характерного вида (рис. 4). При этом угол наклона скачка уплотнения возрастает от 29 до 36°, а давление вдоль линий тока уже начинает медленно уменьшаться (так как по нормали к фронту ДВ имеем одномерное дозвуковое горение, где давление падает). Угол наклона ДВ, полученный в расчете, и параметры потока за ДВ хорошо совпадают с величинами, которые можно получить с помощью законов сохранения.

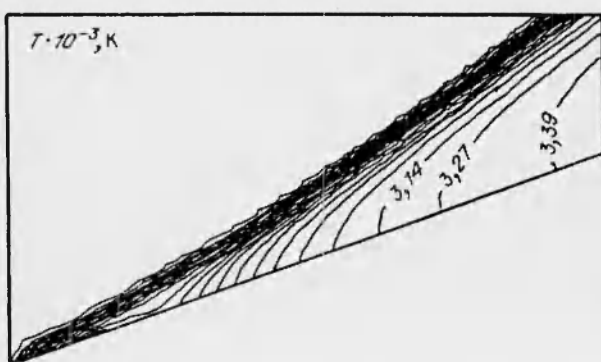


Рис. 3. Поле температуры (задача 1).

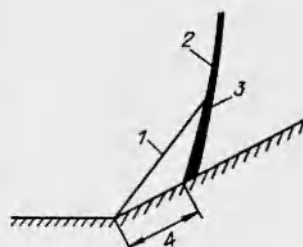


Рис. 4. λ -структура:
1 — скачок уплотнения; 2 — детонация; 3 — фронт пламени; 4 — длина индукции.

2. Присоединенная волна детонации в неоднородной по составу смеси. Рассмотренная задача усложнена: при той же конфигурации расчетной области на входе задавалась неоднородная по составу водородовоздушная смесь. Цель — моделирование ситуации, вполне возможной на практике из-за недостаточного перемешивания горючего с воздухом.

На входе задан следующий профиль концентрации водорода:

$$Y_{H_2} = \frac{1}{2} \left[(Y_{\min} + Y_{\max}) + (Y_{\max} - Y_{\min}) \cos \frac{\pi y}{h} \right],$$

где $h = L \operatorname{tg} \theta$ — высота клина (см. рис. 2). Величины Y_{\min} и Y_{\max} выбирались так, что коэффициент избытка топлива φ менялся от 0,5 до 2. При этом у нижней границы ($y = 0$) концентрация молекулярного водорода максимальна ($\varphi = \varphi_{\max} = 2$). Это моделирует случай, когда водород вдувается в поток с нижней границы.

Размеры расчетной области увеличены по сравнению с предыдущей задачей, так что длина задержки воспламенения занимала теперь $\sim 1/9$ длины клина. Это вполне удовлетворительно, так как в данной задаче важен не участок индукции, а именно фронт волны детонации и влияние вариации φ на его форму.

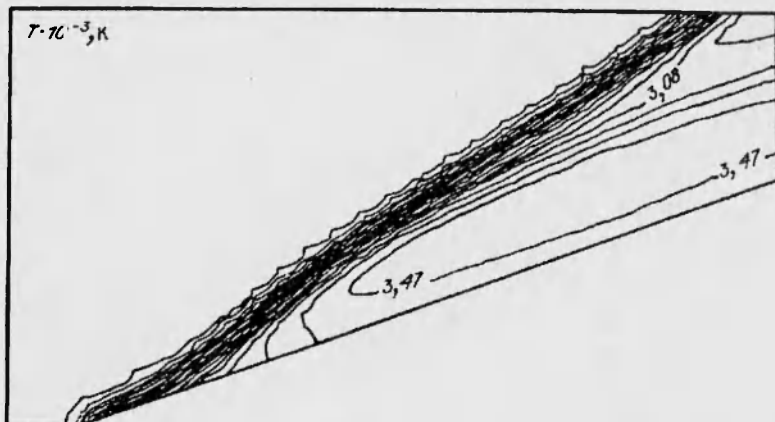


Рис. 5. Поле температуры (задача 2).

Итоговая картина представлена на рис. 5. Вариация φ приводит к тому, что фронт ДВ слегка изгибаются, при этом локальный угол наклона фронта близок к тому, который можно получить из обычных расчетов на основе законов сохранения при данном составе смеси (т. е. при данном φ). Никаких особых эффектов (таких, как выравнивание состава смеси за фронтом ДВ) не наблюдается.

3. Задача об отошедшей ДВ на клине. В камеру сгорания втекает однородно перемешанная водородовоздушная смесь. При натекании смеси на клин образуется УВ, переходящая в детонационное горение. Для моделирования стенок камеры на нижней и верхней границах ставилось условие типа «твердая стенка». Использовалась довольно грубая расчетная сетка (размер ячеек примерно 4×4 мм), поэтому возможны ошибки в представлении процесса развития горения и в определении положения фронта пламени. Однако было желательно посмотреть общий характер течения в возможно большей области: измельчение сетки привело бы к весьма значительному росту времени счета.

Процесс, анализируемый в данной задаче, существенно нестационарный. Дело в том, что при заданных параметрах число Маха M втекающего потока меньше значения, соответствующего режиму Чепмена — Жуге (которое определяет скорость самоподдерживающейся ДВ относительно непрореагировавшей газовой смеси). Таким образом, любая ДВ, возникающая в расчетной области, должна распространяться вверх по течению.

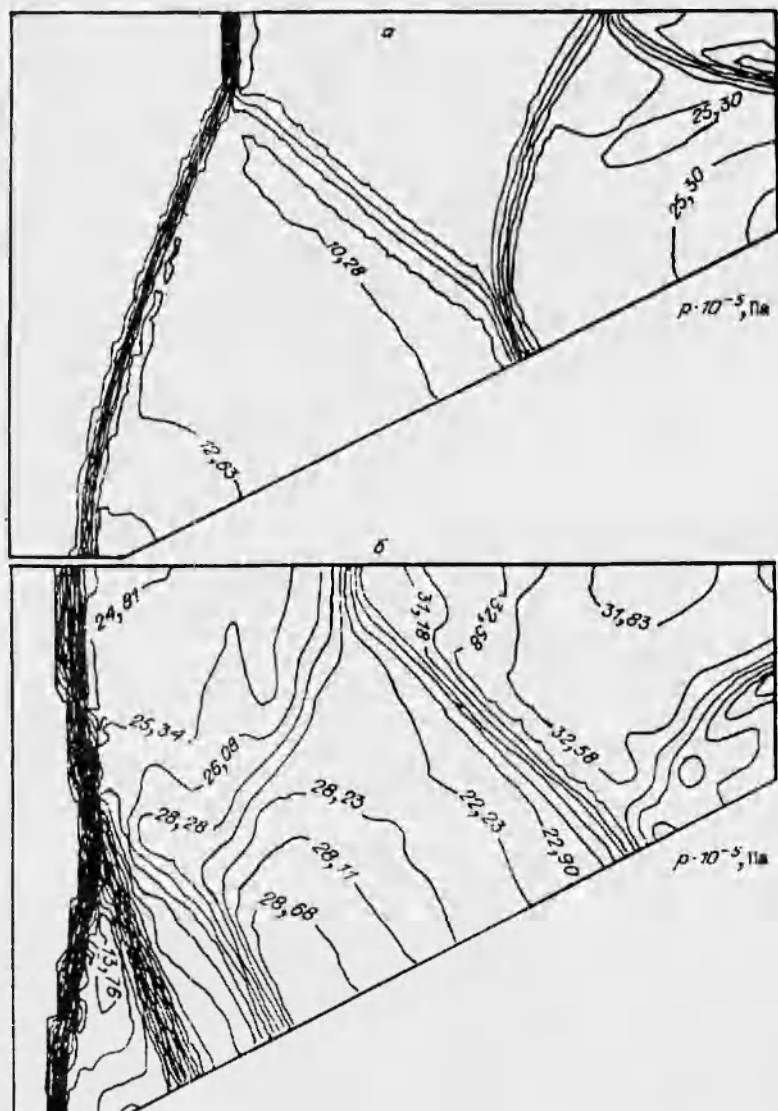


Рис. 6. Поле давления (задача 3):

a — нерегулярное отражение ДВ; *b* — образование прямой ДВ.

Процесс развивается следующим образом. На клине образуется скачок уплотнения, который постепенно начинает отклоняться от клина, приближаясь к стационарному положению. По истечении периода индукции смесь загорается, зона горения догоняет скачок и сливается с ним, формируя фронт ДВ. В начальный момент очень хорошо видна λ -структура (см. рис. 4). Но, поскольку присоединенная ДВ при этих параметрах невоз-

можна, детонационная волна движется вперед, и постепенно участок, где скачок уплотнения отделен от фронта пламени, исчезает. ДВ все больше отклоняется от клина. Когда она достигает верхней стенки, то наблюдается отражение от нее. Отраженная волна — обычный скачок уплотнения потому, что он возникает в уже прореагировавшей смеси. Отклоняясь от верхней стенки, этот скачок догоняет ДВ, возникает нерегулярное (маковское) отражение (рис. 6, а). ДВ к этому моменту отходит от клина, и течение за ней становится в основном дозвуковым, а все УВ, возникающие за ней, оказываются нестационарными. Скачок уплотнения отражается от клина, причем отражение постепенно также становится нерегулярным. В поле течения за ДВ образуются сложные нестационарные ударно-волновые структуры, которые нагоняют ДВ, усиливая ее. ДВ все дальше отходит от клина, угол наклона ее растет, и наконец она переходит в прямую ДВ (рис. 6, б).

4. Задача о ДВ на клине с изменяющимся углом наклона. Рассмотрим клин с углом наклона θ , на который натекает сверхзвуковой поток однородно перемешанной водородовоздушной смеси с заданным M_0 . Предположим, что известен тепловой эффект при сгорании данной смеси $q = Q/c_{p0}T_0$, тогда ему соответствует скорость самоподдерживающейся ДВ относительно набегающего потока — M_{CJ} (число Маха в режиме Чепмена — Жуге):

$$M_{CJ} = \sqrt{A + \sqrt{A^2 - (\alpha_2/\alpha_1)^2}}, \quad A = \frac{(\alpha_2^2 - 1)q + \alpha_2^2/\alpha_1 - 1}{\alpha_1 - 1},$$

где α_1 и α_2 — значения показателя адиабаты до и после сгорания смеси.

Режим Чепмена — Жуге реализуется при угле клина θ_{CJ} :

$$\tan \theta_{CJ} = \frac{\tan \beta_{CJ} \cdot (1 - \xi)}{1 + \xi \tan^2 \beta_{CJ}}, \quad \xi = \frac{(1 + \alpha_1 M_{CJ}^2) \cdot \alpha_2 / \alpha_1}{(1 + \alpha_2) M_{CJ}^2},$$

$\beta_{CJ} = \arcsin \frac{M_{CJ}}{M_0}$ — угол наклона ДВ в самоподдерживающемся режиме.

Если $\theta > \theta_{CJ}$, то ДВ, возникающая на клине, пересжатая. Режим пересжатой волны достаточно ясен. Если θ не очень велик, то реализуется при соединенная ДВ, и с помощью законов сохранения легко рассчитать β_{CJ} и параметры за ДВ. При угле клина, большем критического, возникает отошедшая ДВ.

Однако неясно, что получится при $\theta < \theta_{CJ}$. Если реакция протекает с бесконечной скоростью ($\tau_{хим} = 0$), можно предложить такое решение: самоподдерживающаяся ДВ, разворачивающая поток на $\theta_{CJ} > \theta$, а затем центрированная волна разрежения, возвращающая течение к направлению, задаваемому клином (рис. 7, а). Кроме того, поворот потока на угол $\theta < \theta_{CJ}$, в принципе, может быть осуществлен в недосжатой ДВ с $\beta > \beta_{CJ}$ (рис. 7, б): течение по нормали к такой волне всюду сверхзвуковое.

Однако чисто газодинамически создать такую волну невозможно; для этого необходимо какое-нибудь внешнее воздействие, стимулирующее горение, например поджигание газа лазерным лучом [15].

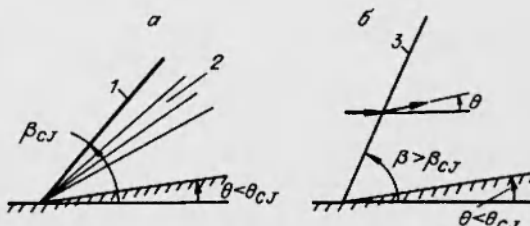


Рис. 7. Варианты течения при $\theta < \theta_{CJ}$ (бесконечная скорость химических реакций):
1 — детонация Чепмена — Жуге; 2 — волна разрежения; 3 — недосжатая детонация.

Рассмотрим случай, когда скорость реакции конечна. Пусть вначале $\theta > \theta_{CJ}$, и на клине возникла пересжатая ДВ. При приближении θ к θ_{CJ} ДВ, очевидно, будет стремиться к режиму Чепмена — Жуге. Ситуация $\theta < \theta_{CJ}$ интересна для теории и практики. Например, в камере сгорания детонационного ГПВРД клин может использоваться для стабилизации горения. Но в условиях реального полета возможно непредсказуемое изменение скорости потока, натекающего на клин, а рост M_0 при $\theta = \text{const}$ эквивалентен уменьшению θ при $M_0 = \text{const}$.

Для ответа на вопрос, будет ли стабилизироваться при этом горение и сохранится ли его локализация на клине, проведен численный расчет. Вначале задан угол клина $\theta = 20^\circ$, заведомо больший θ_{CJ} (для рассматриваемой смеси $\theta_{CJ} \approx 10^\circ$). Сделано 500 итераций по времени по схеме Родионова, в результате чего получено установившееся решение — пересжатая ДВ, соответствующая данному углу. Далее началось медленное (квазистационарное) уменьшение угла клина с такой скоростью, что за 1000 итераций угол должен уменьшиться до 5° , что меньше θ_{CJ} . Это позволило проследить все протекающие при этом явления.

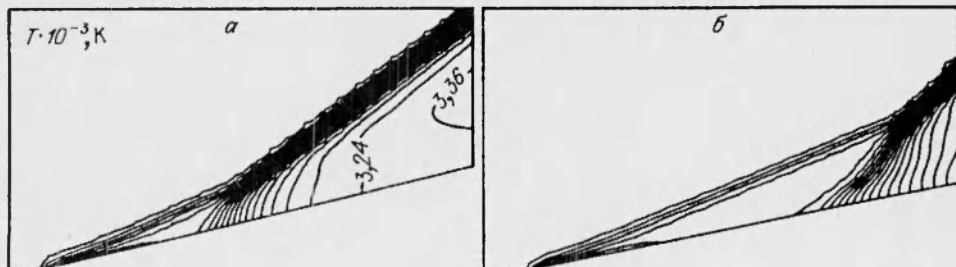


Рис. 8. Поле температуры (задача 4) при угле клина $\theta = 13,4$ (а) и $11,24^\circ$ (б).

Установлено, что решающую роль в эволюции течения играет λ -структура (см. рис. 4). Если бы ДВ начиналась прямо от вершины клина (т. е. автомодельное решение), тогда возможны два решения, описанные выше. Но реальная ДВ не автомодельна. У поверхности клина зона горения отделена от скачка уплотнения. При уменьшении θ скачок уплотнения ослабляется, температура за ним падает, период индукции (экспоненциально зависящий от температуры) увеличивается, и зона горения уходит вниз по течению (и в конце концов покидает расчетную область). Стабилизации пламени нет. (При этом, если зафиксировать угол клина, то решение будет стационарным.) Два последовательных момента счета показаны на рис. 8. К сожалению, полученные результаты не позволяют пока дать точный ответ на вопрос, что при этом реализуется вдали от поверхности клина? Однако, исходя из решающей роли λ -структуры в формировании картины течения, можно высказать следующие предположения.

В зоне горения зарождаются волны сжатия, которые догоняют скачок уплотнения. В результате скачок искривляется, температура за ним растет, и зона горения все сильнее приближается к скачку. Между скачком уплотнения и зоной горения линии тока искривлены, а за зоной горения они параллельны поверхности клина (рис. 9). В случае $\theta = \theta_{CJ}$ в определенный момент искривляющийся скачок уплотнения достиг бы угла наклона β_{CJ} , и реализовалась бы детонация Чепмена — Жуге. При этом по нормали к скачку уплотнения за зоной горения $M = 1$, волны сжатия перестают догонять скачок (распространяются параллельно ему), и развитие процесса

прекращается. Но в данном случае $\theta < \theta_{CJ}$, поэтому по мере искривления скачка уплотнения еще до того, как его угол наклона станет равным β_{CJ} , наступит момент, когда линии тока за зоной горения начнут отклоняться на угол, больший угла клина. Следовательно, за зоной горения возникнут волны разрежения, возвращающие поток к углу, задаваемому клином. Но режим Чепмена — Жуге еще не достигнут, число Маха по нормали к скачку уплотнения меньше единицы, следовательно, эти волны разрежения будут доходить до скачка и противодействовать его дальнейшему искривлению.

Далее можно предположить два варианта развития процесса.

1. Волны разрежения уравновешивают волны сжатия, идущие из зоны горения, и скачок уплотнения перестает отклоняться. В дальнейшем скачок уплотнения параллелен фронту пламени, при этом линии тока за фронтом всюду параллельны поверхности клина (рис. 10). Однако данная картина течения противоречива. Действительно, распишем уравнение сохранения массы, импульса и энергии для контура $ABCD$. Поскольку на линии AB поток всюду имеет $\theta = 0$, а на линии CD $\theta < \theta_{CJ}$, то законы сохранения, очевидно, дадут решение, соответствующее режиму недосжатой ДВ. Однако в этом режиме число Маха по нормали к волне за зоной горения $M_{2n} < 1$. Кроме того, угол наклона недосжатой ДВ $\beta > \beta_{CJ}$, а режим Чепмена — Жуге еще не достигнут. Следовательно, этот вариант невозможен.

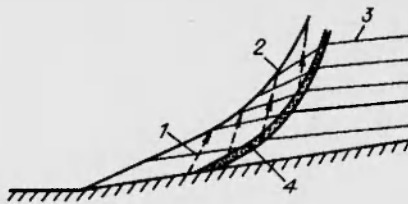


Рис. 9. Схема течения вблизи поверхности клина:
1 — волны сжатия; 2 — скачок уплотнения; 3 — линии тока; 4 — фронт пламени.

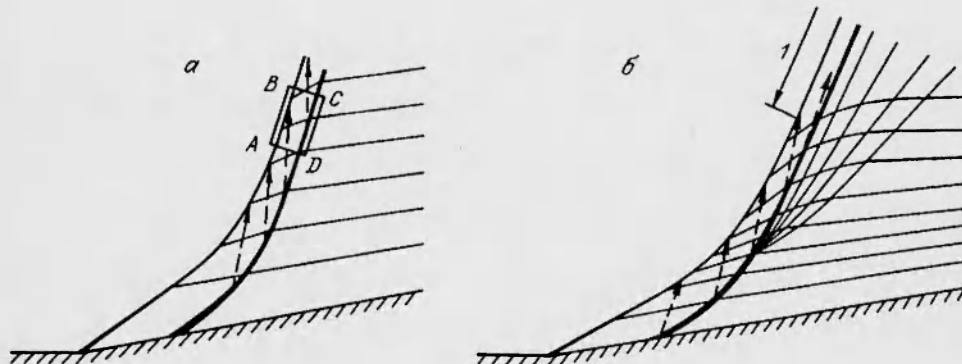


Рис. 10. Первый (а) и второй (б) варианты решения вдали от клина при $\theta < \theta_{CJ}$.

2. Волны сжатия преобладают, скачок продолжает отклоняться, несмотря на возникающее за ним разрежение. Тогда в определенный момент он достигнет значения β_{CJ} , и реализуется самоподдерживающаяся детонация Чепмена — Жуге, $M_{2n} = 1$. После этого течение будет совпадать с решением, предложенным выше для $\tau_{\text{хим}} = 0$. Приблизительная картина течения изображена на рис. 10, б, где 1 — режим Чепмена — Жуге. По-видимому, реализуется именно этот вариант решения.

Заключение

Итак, на основе описанного выше численного метода создан работающий комплекс программ, предназначенный для расчета двумерных течений невязкого реагирующего газа. Структура комплекса и ряд дополняющих его сервисных программ делают его использование достаточно простым и удобным. Комплекс пригоден для решения как задач прикладного плана, так и представляющих общий научный интерес, но не поддающихся аналитическому решению, в которых необходимо учитывать взаимодействие газодинамических эффектов с химической кинетикой.

С помощью комплекса SOLVER 2 проведен численный расчет ряда задач, где рассматриваются течения с косой ДВ на клине. Результаты расчетов показывают, что:

- 1) присоединенная ДВ на клине не является автомодельным решением. В районе вершины клина возникает λ -структура, в которой зона горения отделена от ударного фронта;
- 2) при наличии значительной вариации состава смеси, натекающей на клин ($0,5 < \varphi < 2$), возможна стабилизация горения в ДВ на клине. Фронт ДВ незначительно изгибаются в зависимости от φ . Никаких специфических эффектов, не предсказываемых элементарной теорией детонации, не обнаружено;
- 3) если угол клина меньше угла Чепмена — Жуге, горение не стабилизируется на клине, при уменьшении угла клина зона горения уходит вниз по течению. Это связано с неавтомодельностью ДВ и наличием λ -структуры.

Проведен расчет сложного нестационарного течения с отошедшей ДВ, демонстрирующий возможности численного моделирования неустановившихся течений. Все перечисленные результаты получены в рамках модели невязкого газа. Эффекты вязкости и турбулентности могут привести к изменению картины течения.

ЛИТЕРАТУРА

1. Menees G. P., et al. Wave combustors for transatmospheric vehicles // 9th Intern. Symp. on Airbreathing engines. Sept. 1989.
2. Пензин В. И. К вопросу о месте детонационного ГПВРД в семействе прямоточных двигателей. М., 1992. (Препр. ЦАГИ; № 59).
3. Лапин Ю. В., Стрелец М. Х. Внутренние течения газовых смесей. М.: Наука, 1989.
4. Moretti G. A new technique for the numerical analysis of nonequilibrium flows // AIAA J. 1965. V. 3, N 2.
5. Tannehill J., Ievalts J., Prabhu D., Lawrense S. An upwind parabolized Navier — Stokes code for chemically reacting flows // AIAA. Conf. June 27–29, 1988. San Antonio, Texas.
6. Родионов А. В. Монотонная схема 2-го порядка аппроксимации для сквозного расчета неравновесных течений // Журн. вычисл. математики и мат. физики. 1987. Т. 27, № 4, С. 585–593.
7. Roe P. Approximate Riemann solvers, parameter vectors and difference schemes // J. Comput. Phys. 1981. V. 43. P. 357–372.
8. Liu Y., Vinokur M. Upwind algorithms for general thermo-chemical nonequilibrium flows. AIAA. Pap. N 0201. 1989.
9. Куприянова Т. В., Михайлов Ю. Я., Чинилов А. Ю. Построение приближенной задачи о распаде разрыва в газе с произвольным уравнением состояния // Аэродинамика воздушно-космических систем. М.: ЦАГИ, 1992. Ч. 2.
10. Колган В. П. Применение принципа минимальных значений производной к построению конечно-разностной схемы для расчета разрывных решений газовой динамики // Учен. зап. ЦАГИ. 1972. Т. 3, № 6. С. 68–77.

11. **Harten A.** High resolution schemes for hyperbolic conservation laws // J. Comput. Phus. 1983. V. 49, N 3.
12. **Тилляева Н. И.** Обобщение модифицированной схемы С. К. Годунова на произвольные нерегулярные сетки // Учен. зап. ЦАГИ. 1986. Т. 17, № 2. С. 18–26.
13. **Беляев А. В., Босняков С. М., Михайлов С. В. и др.** К вопросу об обтекании ЛА сверх- и гиперзвуковым потоком идеального газа // Аэродинамика воздушно-космических систем. М.: ЦАГИ, 1992. Ч. 2.
14. **Оран Э., Борис Дж.** Численное моделирование реагирующих потоков. М.: Мир, 1990.
15. **Зверев И. Н., Смирнов Н. Н.** Газодинамика горения. М.: Изд-во Моск. ун-та, 1987.

Поступила в редакцию 15/XI 1993 г.
